

Физическая электроника

Научная статья

УДК 537.9

DOI: <https://doi.org/10.18721/JPM.15202>

ХАОТИЧЕСКИЙ ПОТЕНЦИАЛ ЗАРЯЖЕННЫХ ДИСЛОКАЦИЙ В ГЕТЕРОКОНТАКТАХ III-НИТРИДОВ ПРИ ВЫСОКИХ ТЕМПЕРАТУРАХ

А. В. Филимонов ^{1✉}, **В. Б. Бондаренко** ¹, **Рави Кумар** ²

¹ Санкт-Петербургский политехнический университет Петра Великого,
Санкт-Петербург, Россия;

² Индийский технологический институт Мадраса, г. Ченнаи, Индия

✉ filimonov@rphf.spbstu.ru

Аннотация. В работе исследуется высокотемпературная структура хаотического потенциала (ХП) в гетероконтактах III-нитридов, обусловленного электростатическим полем заряженных дислокаций. С учетом пространственной дисперсии диэлектрического отклика двумерного электронного газа определена амплитуда ХП в плоскости контакта. Показана зависимость свойств ХП от параметров системы. В частности, при наличии невырожденного двумерного электронного газа в гетероконтактах III-нитридов и плотности дислокаций 10^{10} см^{-2} (и более), величина амплитуды ХП превышает значение тепловой энергии.

Ключевые слова: хаотический потенциал, естественный размерный эффект, гетерокontakt III-нитридов, двумерный электронный газ

Финансирование: Исследование частично финансируется Министерством науки и высшего образования Российской Федерации в рамках программы стратегического академического лидерства «Приоритет 2030» (Договор 075-15-2021-1333 от 30.09.2021).

Для цитирования: Филимонов А. В., Бондаренко В. Б., Кумар Рави. Хаотический потенциал заряженных дислокаций в гетероконтактах III-нитридов при высоких температурах // Научно-технические ведомости СПбГПУ. Физико-математические науки. 2022. Т. 15. № 2. С. 17–25. DOI: <https://doi.org/10.18721/JPM.15202>

Статья открытого доступа, распространяемая по лицензии CC BY-NC 4.0 (<https://creativecommons.org/licenses/by-nc/4.0/>)

Original article

DOI: <https://doi.org/10.18721/JPM.15202>

A CHAOTIC POTENTIAL OF CHARGED DISLOCATIONS IN THE III-NITRIDE HETEROJUNCTIONS AT HIGH TEMPERATURES

A. V. Filimonov ^{1✉}, **V. B. Bondarenko** ¹, **Ravi Kumar** ²

¹ Peter the Great St. Petersburg Polytechnic University, St. Petersburg, Russia

² Indian Institute of Technology – Madras (IIT Madras), Chennai, India

✉ filimonov@rphf.spbstu.ru

Abstract. The paper studies the high-temperature structure of a chaotic potential (CP) in-

duced in heterojunctions of the group III nitrides by the electrostatic field of charged dislocations. The CP amplitude in the junction plane has been obtained taking into account the spatial dispersion of a dielectric response of two-dimensional electron gas. The dependence of the CP properties on the parameters of the system was found. In particular, the magnitude of the CP amplitude exceeds that of the thermal energy, if the two-dimensional non-degenerate gas given in III-nitride heterojunctions and the dislocation densities being up to and over 10^{10} cm^{-2} .

Keywords: chaotic potential, natural size effect, III-nitride heterojunction, two-dimensional electron gas

Funding: The research is funded in part by the Ministry of Science and Higher Education of the Russian Federation, within the framework of strategic academic leadership “Priority 2030” (Agreement No. 075-15-2021-1333 dated September 30, 2021)

For citation: Filimonov A. V., Bondarenko V. B., Kumar Ravi, A chaotic potential of charged dislocations in the III-nitride heterojunctions at high temperature, St. Petersburg State Polytechnical University Journal. Physics and Mathematics. 15 (2) (2022) 17–25. DOI: <https://doi.org/10.18721/JPM.15202>

This is an open access article under the CC BY-NC 4.0 license (<https://creativecommons.org/licenses/by-nc/4.0/>)

Введение

Гетероконтакты на основе нитридов элементов третьей группы (Al, Ga, In) являются на настоящий момент и в перспективе основой для синтеза твердотельных приборов силовой СВЧ электроники [1]. Обладая целым рядом очевидных преимуществ перед структурами на основе других соединений $A^{III}B^V$, указанные системы в силу технологических особенностей синтеза содержат ряд несовершенств, влияющих, например, на параметры полевых транзисторов с двумерным электронным газом высокой подвижности (НЕМТ) [2]. Выявленные при этом изменения параметров приборов, возможно, связаны с исходной дефектностью материалов и формируемых гетерограниц. Известно, что из-за рассогласования решеток III-нитридов и используемых подложек исходно возникают прорастающие дислокации несоответствия, которые во многих случаях оказываются электрически заряженными [3]. Рассеяние же электронов в канале НЕМТ-транзистора на заряженных дислокациях приводит к известному снижению их подвижности [4 – 7]. Кроме того, влияние этого рассеяния может многократно возрасти на предельных значениях передаваемой мощности из-за снижения экранирующей способности двумерного электронного газа при высоких температурах, когда данная электронная подсистема перестает быть вырожденной. Отсутствие в этих условиях усреднения неоднородного поля заряженных дислокаций означает наличие флуктуаций напряженности и хаотического потенциала (ХП) в плоскости локализации двумерного электронного газа. При этом воздействие, обусловленное неоднородным электрическим полем системы линейно распределенных зарядов, ввиду конечности по величине плотности поверхностных состояний носит фактически самосогласованный характер. Наличие ХП влечет за собой появление «хвостов» плотности электронных состояний и частичной локализации носителей в проводящем канале НЕМТ-транзистора.

Цель настоящей работы – охарактеризовать ХП заряженных дислокаций в гетероконтактах полупроводниковых нитридных соединений через его параметры в условиях высокой температуры.

Распределение поля заряженных дислокаций

Для определенности рассмотрим индий-содержащую структуру InAlN/GaN [8], сохраняющую свою стабильность при рекордно высоких температурах (вплоть до 1000°C). Дислокации несоответствия с поверхностной концентрацией N_{disl} будем представлять в виде линейных дефектов, нормально ориентированных к плоскости контакта. При некоррелированной локализации указанных протяженных дефектов их количественное распре-



деление является пуассоновским, с параметром

$$\langle N \rangle = N_{disl} S,$$

определяющим среднее количество этих дефектов на участке контакта площадью S .

Поскольку каналный слой формируется на основе нелегированного (или компенсированного) нитрида галлия GaN, объемный заряд в приконтактной области изгиба зон формируется, в основном, заряженными дислокациями. При больших изгибах зон данные протяженные дефекты в пределах области пространственного заряда можно считать равномерно заряженными, с некоторой линейной плотностью λ максимальной величины. Если в гетероконтакте имеется делокализованный поверхностный заряд, то при высокой плотности поверхностных состояний D_s (более 10^{14} см $^{-2}$ ·эВ $^{-1}$) для определения параметров хаотического поля имеется возможность воспользоваться методом электростатических изображений [9].

Поле произвольно выбранной дислокации будем определять в цилиндрической системе координат, в которой ρ – радиальная координата, определяющая расстояние от дислокации в плоскости контакта. Несложный расчет дает величину напряженности поля заряженной дислокации в виде

$$F_i(\rho) = \frac{2\lambda}{\varepsilon} \left(\frac{1}{\rho} - \frac{1}{\sqrt{\rho^2 + L_0^2}} \right), \quad (1)$$

где ε – диэлектрическая проницаемость среды, в которой находится i -я дислокация; L_0 – ширина области пространственного заряда.

При условиях сильного вырождения двумерного электронного газа дальнейшее изложение может быть связано с анализом выражения (1) с учетом характера распределения дислокаций. Среднее значение (1) на площадке радиуса R определяется из выражения

$$\langle F_i \rangle(R) = \frac{4\lambda}{\varepsilon R^2} \left(R - \sqrt{R^2 + L_0^2} + L_0 \right). \quad (2)$$

Фактически выражение (2) определяет средний вклад одной заряженной дислокации в величину напряженности электростатического поля. Учитывая количественное распределение заряженных дислокаций, можно представить также среднее значение флуктуаций их количества на соответствующем участке поверхности площадью $S = \pi R^2$ в виде

$$\delta N(R) = R \sqrt{\pi N_{disl}}. \quad (3)$$

Произведением выражений (2) и (3) оценивается характерная величина неоднородностей напряженности поверхностного поля

$$\delta F(R) = \frac{4\lambda}{\varepsilon R} \sqrt{\pi N_{disl}} \left(R - \sqrt{R^2 + L_0^2} + L_0 \right). \quad (4)$$

Полученная функция (4) является монотонно убывающей и достигает своего максимального значения при $R \ll L_0$. Если вычислить точную верхнюю грань этой функциональной зависимости (в пределе $R \rightarrow 0$), то получим выражение для амплитуды хаотического поля:

$$\delta F = \frac{4\lambda \sqrt{\pi N_{disl}}}{\varepsilon}. \quad (5)$$

При указанных высоких значениях плотности поверхностных состояний возможна непосредственная оценка величины амплитуды ХП в плоскости локализации двумерного электронного газа. В этих условиях величина неоднородностей потенциала может быть определена в приближении Томаса – Ферми:

$$\delta\sigma = eD_s \cdot \delta U. \quad (6)$$

В данном случае предполагается малость возмущения потенциала, по сравнению со средней энергией электрона в поверхностной зоне, и пренебрегается изменением плотности состояний.

Учитывая далее линейную зависимость поверхностного заряда от напряженности поля $F = 4\pi\sigma/\varepsilon$, а также выражения (5) и (6), можно связать величину δU с параметрами системы:

$$\delta U = \frac{\lambda}{eD_s} \cdot \sqrt{\frac{N_{disl}}{\pi}}. \quad (7)$$

Случай малой плотности электронных состояний

В случае относительно невысоких значений плотности электронных состояний в гетероконтакте, следует провести более детальный анализ возникающих флуктуаций потенциала с использованием функции диэлектрического отклика поверхностной подсистемы. Потенциальная энергия поверхностного электрона в поле заряженной дислокации без реакции среды имеет вид

$$V_i(\rho) = e\lambda \cdot \ln \frac{\sqrt{\rho^2 + L_0^2} + \rho}{\rho}. \quad (8)$$

С учетом преобразования (8) по Фурье – Бесселю [10] в пространстве волновых векторов q имеем выражение

$$V_i(q) = \frac{e\lambda}{q^2} \cdot [1 - \exp(-qL_0)]. \quad (9)$$

В области высоких температур (т. е. при классической статистике двумерного электронного газа) функция диэлектрического отклика имеет следующий вид [11]:

$$\varepsilon(q) = \frac{\varepsilon_1 + \varepsilon_2}{2} \cdot \left[1 + \frac{q_s(q)}{q} \right], \quad (10)$$

где $\varepsilon_1, \varepsilon_2$ – величины диэлектрической проницаемости контактирующих полупроводников; $q_s(q)$ – параметр экранирования в двумерной электронной системе.

В случае больших изгибов зон, для большинства гармоник справедливо также соотношение $q \ll q_s$, при котором функцию диэлектрического отклика (10) можно приближенно представить в виде [12]:

$$\varepsilon(q) \approx \frac{2\pi e^2 n_s}{kT \cdot q}. \quad (11)$$

Используя вид исходного потенциала (9), обратное преобразование Фурье – Бесселя и выражение для диэлектрического отклика системы (11), получаем выражение для потенциальной энергии электрона в плоскости поверхности, с учетом экранирования:

$$U_i(\rho) = \frac{\lambda kT}{2\pi e n_s} \cdot \left(\frac{1}{\rho} - \frac{1}{\sqrt{\rho^2 + L_0^2}} \right). \quad (12)$$

Эта функциональная зависимость потенциальной энергии от радиальной координаты совпадает с аналогичной зависимостью (1), что дает возможность повторить ранее использованный алгоритм вычислений уже непосредственно для определения амплитуды ХП:

$$\delta U = \frac{\lambda kT}{e n_s} \cdot \sqrt{\frac{N_{disl}}{\pi}}. \quad (13)$$

Полученное выражение может еще не носить окончательного характера, поскольку требует в ряде случаев доопределения концентрации двумерного электронного газа через параметры ХП, т. е. установить функциональную зависимость $n_s = n_s(\delta U)$.

Значение величины концентрации двумерного электронного газа зависит от плотности электронных состояний $D(E)$. Поскольку при параболическом законе дисперсии плотность поверхностных состояний исходно является константой, в присутствии ХП она имеет вид [13]:

$$D(E) = D_s \int_{-\infty}^E p(U) dU, \quad (14)$$

где $p(U)$ – плотность распределения ХП.

В случае Гауссова распределения с параметром среднеквадратичного отклонения, равным δU , вычисление интеграла в формуле (14) приводит к известному из теории вероятности результату через функцию ошибок:

$$D(E) = \frac{D_s}{2} \cdot \left[1 + \operatorname{erf} \left(\frac{E}{\delta U \sqrt{2}} \right) \right]. \quad (15)$$

Концентрация двумерного электронного газа в контакте определяется интегрированием по всем заполненным состояниям:

$$n_s = \int_{-\infty}^{+\infty} D(E) f(E) dE. \quad (16)$$

Для высокотемпературного предела следует выбрать больцмановский закон распределения электронов по энергиям

$$f(E) \approx \exp[(\mu - E) / kT],$$

где μ – химический потенциал, отсчитываемый от дна невозмущенной поверхностной зоны электронных состояний.

С учетом вида выражения для плотности возмущенных состояний (15), из выражения (16) получаем следующую формулу [9]:

$$n_s = D_s kT \cdot \exp \left[\frac{\mu}{kT} + \frac{1}{2} \left(\frac{\delta U}{kT} \right)^2 \right]. \quad (17)$$

Таким образом, для определения величины амплитуды ХП необходимо решить трансцендентное уравнение, которое получается при подстановке формулы (17) в выражение (13):

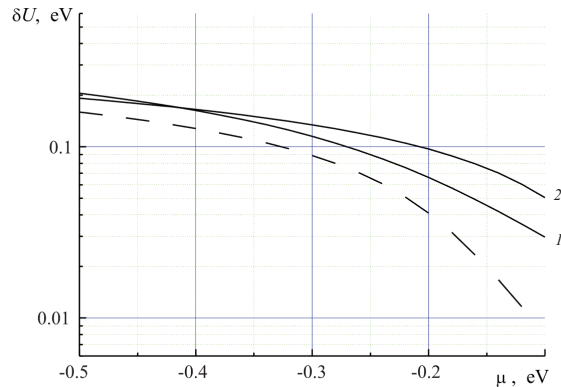
$$\delta U = \frac{\lambda}{eD_s} \cdot \sqrt{\frac{N_{disl}}{\pi}} \cdot \exp \left[-\frac{\mu}{kT} - \frac{1}{2} \left(\frac{\delta U}{kT} \right)^2 \right]. \quad (18)$$

Результаты расчета величин δU и n_s для типичных значений параметров системы представлены на рис. 1.

Обсуждение результатов

Подведем некоторые итоги представленного анализа. Заметим прежде всего, что выражение (13) для характерных величин неоднородности поверхностного потенциала при высоких температурах могло быть получено из выражения (7) путем замены величины плотности состояний D_s отношением n_s / kT . При оценках значений δU для параметров ХП в гетероконтактах на основе III-нитридов примем величину эффективной массы электрона в поверхностной зоне $m^* \approx 0,2 m$ (m – масса покоя электрона) и соответствующее значение плотности невозмущенных поверхностных состояний $D_s \approx 10^{14} \text{ см}^{-2} \cdot \text{эВ}^{-1}$. Если при этом полагать, что концентрация дислокаций у границы раздела составляет порядка 10^{10} см^{-2} , несущих максимальный заряд на единицу длины около 0,01 ед. СГСЭ, то при наличии невырожденного двумерного электронного газа в широком диапазоне отрицатель-

a)



b)

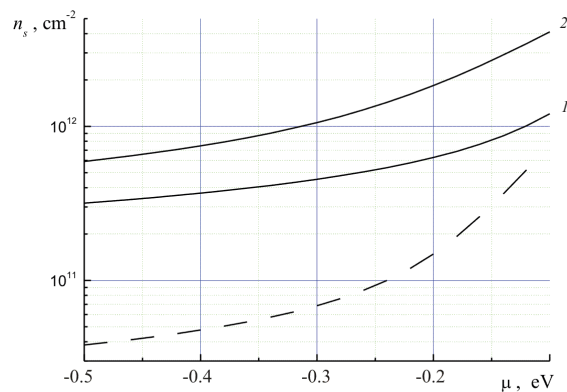


Рис 1. Зависимости амплитуды хаотического потенциала заряженных дислокаций (a) и концентрации двумерного электронного газа (b) в гетероконтакте III-нитридов от величины химического потенциала для двух значений температуры, К: 600 (кривые 1 и пунктиры) и 1200 (2); $N_{disl} = 10^{10} \text{ см}^{-2}$ (1, 2) и 10^8 см^{-2} (пунктиры); $\lambda = 0,01$ ед. СГСЭ, $D_s \approx 10^{14} \text{ см}^{-2} \cdot \text{эВ}^{-1}$

ных значений химического (электрохимического – при подаче запирающего напряжения на затвор транзистора) потенциала, значения величины δU превышают таковые для тепловой энергии kT . В режимах работы НЕМТ-транзистора, близких к отсечке, амплитуда ХП может составлять более 100 мэВ даже при существенно меньшей концентрации дислокаций (см. пунктирную кривую на рис. 1, a). Соответствующие значения концентрации двумерного электронного газа при этом уменьшаются на один-два порядка относительно исходных (около 10^{13} см^{-2}) (рис. 1, b).

Заключение

В работе проанализированы особенности ХП в гетероконтактах нитридов третьей группы, индуцированного электростатическим полем дислокаций, присутствующих в материале и несущих электрический заряд. При высоких температурах с учетом пространственной дисперсии диэлектрического отклика двумерного электронного газа определена амплитуда ХП в плоскости контакта. Изучена зависимость свойств ХП от параметров системы. Главным выводом работы следует считать тот факт, что при наличии невырожденного двумерного электронного газа в гетероконтактах III-нитридов и плотности дислокаций 10^{10} см^{-2} (и более) величина амплитуды ХП превышает уровень тепловой энергии. Данный результат следует учитывать при разработке аппаратуры на основе соответствующих полупроводниковых приборов.



СПИСОК ЛИТЕРАТУРЫ

1. Александров С. Б., Баранов Д. А., Кайдаш А. П. и др. Сверхвысокочастотные полевые транзисторы на основе нитридов III группы // Физика и техника полупроводников. 2004. Т. 38. № 10. С. 1275–1279.
2. Емцев В. В., Заварин Е. Е., Оганесян Г. А. и др. Взаимосвязь надежности AlGaIn/GaN транзисторов с характером организации наноматериала // Письма в Журнал технической физики. 2016. Т. 42. № 13. С. 80–86.
3. Шикин В. Б., Шикина Ю. В. Заряженные дислокации в полупроводниковых кристаллах // Успехи физических наук. 1995. Т. 165. № 8. С. 887–917.
4. Weimann N. G., Eastman L. F., Doppalapudi D., Ng H. M., Maustakus T. D. Scattering of electrons at threading dislocations in GaN // Journal of Applied Physics. 1998. Vol. 83. No. 7. Pp. 3656–3659.
5. Debdeep J., Gossard A. C., Mishra U. K. Dislocation scattering in a two-dimensional electron gas // Applied Physics Letters. 2000. Vol. 76. No. 13. Pp. 1707–1709.
6. Протасов Д. Ю., Малин Т. В., Тихонов А. В., Цацульников А. Ф., Журавлев К. С. Рассеяние электронов в гетероструктурах AlGaIn/GaN с двумерным электронным газом // Физика и техника полупроводников. 2013. Т. 47. № 1. С. 36–47.
7. Bondarenko V. B., Davydov S. N., Nacke B., Filimonov A. V. Chaotic potential on the degenerated semiconductor surface // Key Engineering Materials. 2019. Vol. 806. Pp. 17–23.
8. Medjdoub F., Carlin J. F., Gaquiere C., Grandjean N., Kohn E. Status of the emerging InAlIn/GaN power HEMT technology // The Open Electrical and Electronic Engineering Journal. 2008. Vol. 2. Pp. 1–7.
9. Бондаренко В. Б., Филимонов А. В., Kumar R. Хаотический потенциал заряженных дислокаций в гетероконтактах III-нитридов // Письма в Журнал технической физики. 2021. Т. 47. № 1. С. 12–14.
10. Градштейн И. С., Рыжик И. М. Таблицы интегралов, сумм, рядов и произведений. М.: Наука, 1971. 1108 с.
11. Андо Т., Фаулер А., Стерн Ф. Электронные свойства двумерных систем. М.: Мир, 1985. 415 с.
12. Бондаренко В. Б., Давыдов С. Н., Филимонов А. В. Естественные неоднородности потенциала на поверхности полупроводника при равновесном распределении примеси // Физика и техника полупроводников. 2010. Т. 44. № 1. С. 44–47.
13. Бондаренко В. Б., Филимонов А. В. Критерий сильной локализации на поверхности полупроводника в приближении Томаса – Ферми // Физика и техника полупроводников. 2017. Т. 51. № 10. С. 1372–1375.

REFERENCES

1. Aleksandrov S. B., Baranov D. A., Kaydash A. P., et al., Microwave field-effect transistors based on group-III nitrides, Semiconductors. 38 (10) (2004) 1235–1239.
2. Emtsev V. V., Zavarin E. E., Oganesyanyan G. A., et al., Relationship between the reliability of transistors with 2D AlGaIn/GaN channel and organization type of nanomaterial, Techn. Phys. Lett. 42 (7) (2016) 701–703.
3. Shikin V. B., Shikina Yu. V., Charged dislocations in semiconductor crystals, Phys. Usp. 38 (8) (1995) 845–875.
4. Weimann N. G., Eastman L. F., Doppalapudi D., et al., Scattering of electrons at threading dislocations in GaN, J. Appl. Phys. 83 (7) (1998) 3656–3659.
5. Debdeep J., Gossard A. C., Mishra U. K., Dislocation scattering in a two-dimensional electron gas, Appl. Phys. Lett. 76 (13) (2000) 1707–1709.
6. Protasov D. Y., Malin T. V., Tikhonov A. V., et al., Electron scattering in AlGaIn/GaN heterostructures with a two-dimensional electron gas, Semiconductors. 47 (1) (2013) 33–44.
7. Bondarenko V. B., Davydov S. N., Nacke B., Filimonov A. V., Chaotic potential on the degenerated semiconductor surface, Key Eng. Mater. 806 (2019) 17–23.
8. Medjdoub F., Carlin J. F., Gaquiere C., et al., Status of the emerging InAlIn/GaN power HEMT technology, Open Electr. Electron. Eng. J. 2 (2008) 1–7.

9. **Bondarenko V. B., Filimonov A. V., Kumar R.**, A chaotic potential of charged dislocations in group III-nitride heterojunctions, *Techn. Phys. Lett.* 47 (1) (2021) 8–10.
10. **Gradshteyn I. S., Ryzhik I. M.**, Table of integrals, series, and products, 17-th edition, Ed. by A. Jeffrey, D. Zwillinger, Academic Press; Amsterdam, Boston, Heidelberg, London, 2007.
11. **Ando T., Fowler A. B., Stern F.**, Electronic properties of two-dimensional systems, *Rev. Mod. Phys.* 54 (2) (1982) 437– 672.
12. **Bondarenko V. B., Davydov S. N., Filimonov A. V.**, Inherent potential inhomogeneity on the semiconductor surface for equilibrium impurity distribution, *Semiconductors.* 44 (1) (2010) 41–44.
13. **Bondarenko V. B., Filimonov A. V.**, Criterion for strong localization on a semiconductor surface in the Thomas – Fermi approximation, *Semiconductors.* 51 (10) (2017) 1321–1325.

СВЕДЕНИЯ ОБ АВТОРАХ

ФИЛИМОНОВ Алексей Владимирович – доктор физико-математических наук, профессор Высшей инженерно-физической школы, соруководитель Научно-образовательного центра «Физика нанокompозитных материалов электронной техники» Санкт-Петербургского политехнического университета Петра Великого, Санкт-Петербург, Россия.

195251, Россия, г. Санкт-Петербург, Политехническая ул., 29
filimonov@rphf.spbstu.ru
ORCID: 0000-0002-2793-5717

БОНДАРЕНКО Вячеслав Борисович – кандидат физико-математических наук, доцент Высшей инженерно-физической школы Санкт-Петербургского политехнического университета Петра Великого, Санкт-Петербург, Россия.

195251, Россия, г. Санкт-Петербург, Политехническая ул., 29
vyacheslav.b.bondarenko@mail.ru
ORCID: 0000-0002-9357-3902

КУМАР РАВИ Н. В. – *Ph.D.*, профессор, заведующий кафедрой металлургии и материаловедения Индийского технологического института Мадраса (ИИТ Мадрас), г. Ченнаи, Индия.

ИИТ Р.О., Chennai, Tami Nadu, 600036, India
nvrk@iitm.ac.in
ORCID: 0000-0001-6856-6092

THE AUTHORS

FILIMONOV Alexey V.

Peter the Great St. Petersburg Polytechnic University
29 Politechnicheskaya St., St. Petersburg, 195251, Russia
filimonov@rphf.spbstu.ru
ORCID: 0000-0002-2793-5717

BONDARENKO Vyacheslav B.

Peter the Great St. Petersburg Polytechnic University
29 Politechnicheskaya St., St. Petersburg, 195251, Russia
vyacheslav.b.bondarenko@mail.ru
ORCID: 0000-0002-9357-3902

KUMAR RAVI N. V.

Indian Institute of Technology – Madras (IIT Madras)
ИИТ Р.О., Chennai, Tami Nadu, 600036, India
nvrk@iitm.ac.in
ORCID: 0000-0001-6856-6092



*Статья поступила в редакцию 11.04.2022. Одобрена после рецензирования 13.05.2022.
Принята 13.05.2022.*

Received 11.04.2022. Approved after reviewing 13.05.2022. Accepted 13.05.2022.